

$$x_{(h)}^k = x_{(h)}^{k-1} + x_{(j-1)}^{k-1} \quad (2-11)$$

$$x_{(j-1)}^k = x_{(h)}^{k-1} - x_{(j-1)}^{k-1} \quad (2-12)$$

단, $j = m/2^k, h = l + k \times 2^k, k = 0, 1, \dots, 2^{p-1} - 1,$
 $l = 0, 1, \dots, j-1, \nu = \log_2(j+1)$

[3] 고속월쉬변환과 역변환은 똑같은 과정에 의해 이루어지며 고속월쉬변환의 경우에는 식(2-11), (2-12)의 계산 결과에 $1/m$ 을 곱하면 된다.

3. 고속월쉬변환과 월쉬함수 미분연산식을 이용한 미지입력 관측기 설계

3.1 유사변환법 [5]

다음과 같이 미지입력이 포함된 선형 동적 시스템을 고려하자.

$$\dot{x}(t) = Ax(t) + Bu(t) + Dd(t) \quad (3-1.a)$$

$$y(t) = Cx(t) \quad (3-1.b)$$

여기서, $x \in \mathbb{R}^n, u \in \mathbb{R}^p, y \in \mathbb{R}^m, d \in \mathbb{R}^q$ 이고, 각각 시스템 상태, 입력, 출력과 미지입력을 나타낸다. 이제, $\rho(C) = m, \rho(D) = q$ 이고 $m \geq q$ 이라고 가정하면,

$$T_1^{-1}D = \begin{bmatrix} 0 \\ I_q \end{bmatrix} \text{를 만족하는 정칙행렬 } T_1 \text{을 정의할 수 있으며}$$

식(3-1)은 다음과 같이 나타낼 수 있다.

$$\dot{x}_1^*(t) = A_{11}^* x_1^*(t) + A_{12}^* x_2^*(t) + B_1^* u(t) \quad (3-2.a)$$

$$\dot{x}_2^*(t) = A_{21}^* x_1^*(t) + A_{22}^* x_2^*(t) + B_2^* u(t) + d(t) \quad (3-2.b)$$

$$y(t) = C_1^* x_1^*(t) + C_2^* x_2^*(t) \quad (3-2.c)$$

여기서, $x = T_1 x^*, x_1^* \in \mathbb{R}^{(n-q)}, x_2^* \in \mathbb{R}^q$ 이고,

$$T_1^{-1}A T_1 = \begin{bmatrix} A_{11}^* & A_{12}^* \\ A_{21}^* & A_{22}^* \end{bmatrix}, T_1^{-1}B = \begin{bmatrix} B_1^* \\ B_2^* \end{bmatrix}, C T_1 = [C_1^* \ C_2^*] \text{이다.}$$

식(3-2b)로부터 새로운 변수 $z(t) \in \mathbb{R}^q$ 를 다음과 같이 정의하자.

$$z(t) = A_{21}^* x_1^*(t) \quad (3-3.a)$$

$$z(t) \triangleq \dot{x}_2^*(t) - B_2^* u(t) - d(t) - A_{22}^* x_2^*(t) \quad (3-3.b)$$

계속해서 식(3-2), (3-3)으로부터 다음의 식(3-4)를 구할 수 있다.

$$\begin{bmatrix} C_1^* & C_2^* & \vdots & -I_m & 0 \\ A_{21}^* & 0 & \vdots & 0 & -I_q \end{bmatrix} \cdot \begin{bmatrix} x_1^*(t) \\ y(t) \\ z(t) \end{bmatrix} = 0 \text{ 단, } y^*(t) = \begin{bmatrix} y(t) \\ z(t) \end{bmatrix} \quad (3-4)$$

식(3-4)에서 좌변행렬의 계수(rank)가 전열계수(full row rank) $m+q$ 를 항상 만족하므로, 식(3-5)의 관계를 만족하는 정칙변환 행렬 $T_2 \in \mathbb{R}^{(m+q) \times (m+q)}$ 를 결정할 수 있다.

$$T_2 \cdot \begin{bmatrix} C_1^* & C_2^* & \vdots & -I_m & 0 \\ A_{21}^* & 0 & \vdots & 0 & -I_q \end{bmatrix} = \begin{bmatrix} M_1 & 0 & \vdots & N_1 & N_2 \\ M_2 & I_q & \vdots & N_3 & N_4 \end{bmatrix} \quad (3-5)$$

이제 식(3-5)를 만족하는 변환행렬 T_2 를 식(3-4)의 양변에 곱하여 정리하면 식(3-6), (3-7)을 구할 수 있다.

$$(M_1 + N_2 A_{21}^*) x_1^*(t) + N_1 y(t) = 0 \quad (3-6)$$

$$x_2^*(t) = -(M_2 + N_4 A_{21}^*) x_1^*(t) - N_3 y(t) \quad (3-7)$$

식(3-7)에서 구한 $x_2^*(t)$ 를 식(3-2a)에 대입하고 식(3-6)에서 $\dot{y}(t) \triangleq -N_1 y(t)$ 라 하면, 식(3-8)과 같이 상태 $x_1^*(t)$ 만으로 이루어진 $(n-q)$ 차의 새로운 동적 방정식을 유도할 수 있다.

$$\dot{x}_1^*(t) = A^o x_1^*(t) + B_1^o u(t) - A_{12}^* N_3 y(t) \quad (3-8.a)$$

$$\dot{y}(t) = (M_1 + N_2 A_{21}^*) x_1^*(t) \quad (3-8.b)$$

단, $A^o = [A_{11}^* - A_{12}^* M_2 - A_{12}^* N_1, A_{21}^*]$

<정리>

식(3-1)로 표현된 동적 시스템이 가관측하면 변형된 동적 시스템 식(3-8)은 가관측하다.

즉 $\rho \begin{bmatrix} -s I_n + A^o \\ C \end{bmatrix} = n$ 을 만족하면, $\rho \begin{bmatrix} -s I_n + A^o \\ M_1 \end{bmatrix} = n-q$ 이다.

$\forall s \in \mathbb{C}, \text{Re}(s) > 0$

3.2 대수적 미지입력관측기 설계

식(3-8)에 대한 Luenberger 관측기는 다음과 같다

$$\dot{w}(t) = A^o w(t) + B_1^o u(t) - A_{12}^* N_3 y(t) + L(\dot{y}(t) - (M_1 + N_2 A_{21}^*) w(t)) \quad (3-9)$$

오차함수를 식(3-10)과 같이 정의하자.

$$e(t) = w(t) - x_1^*(t) \quad (3-10)$$

식(3-8)과 식(3-9)를 이용하여 다음의 식(3-11)을 구할 수 있다.

$$\dot{e}(t) = \dot{w}(t) - \dot{x}_1^*(t) = [A^o - L(M_1 + N_2 A_{21}^*)] e(t) \quad (3-11)$$

여기서, L 은 $[A^o - L(M_1 + N_2 A_{21}^*)]$ 의 고유값이 음의 값을 갖도록 하는 관측기 이득 행렬이다. 식(3-9)를 $\dot{y}(t) = -N_1 y(t)$ 의 관계를 이용하여 표현하면 식(3-12)와 같다.

$$\dot{w}(t) = F w(t) + G u(t) + H y(t) \quad (3-12)$$

단, $F = [A^o - L(M_1 + N_2 A_{21}^*)], G = B_1^o, H = -(A_{12}^* N_3 L N_1)$

식(3-12)에서 w 를 고속월쉬변환을 이용하여 구하여 보자. 식(3-12)를 적분하면 다음과 같다.

$$w(t) = w_0 + F \int_0^t w(\tau) d\tau + G \int_0^t u(\tau) d\tau + H \int_0^t y(\tau) d\tau \quad (3-13)$$

식(3-12)의 최초의 해를 $w^0(t) = w_0$ 으로 가정하고 식(3-13)에 대입하면 다음과 같다

$$w^1(t) = w_0 + F \int_0^t w^0(\tau) d\tau + G \int_0^t u(\tau) d\tau + H \int_0^t y(\tau) d\tau \quad (3-14)$$

반복 적용할 때 k 번째 결과는 다음과 같다.

$$w^k(t) = w_0 + F \int_0^t w^{k-1}(\tau) d\tau + G \int_0^t u(\tau) d\tau + H \int_0^t y(\tau) d\tau \quad (3-15)$$

단 $k=1, 2, 3, \dots$

식(3-12)의 방정식이 Lipschitz조건을 만족한다면 Picard에 의한 식(3-15)의 반복연산에 의해 다음을 만족하는

$$e(t) = \lim_{k \rightarrow \infty} \|w^k(t) - w^{k-1}(t)\| = 0 \quad (3-16)$$

식(3-12)의 방정식의 해가 존재한다[6].

$w^{k-1}(t)$ 를 알고 있다고 할 때, 구간 $[0, T)$ 에서 월쉬함수를 적용하여 식(3-15)의 해를 구하는 문제를 고려한다. 식(3-15)에서 나타나는 각각의 벡터들을 월쉬함수로 나타내어 표현하면 다음과 같다.

$$W^k \phi(t) = W_0 \phi(t) + F W^{k-1} \int_0^t \phi(\tau) d\tau + G U \int_0^t \phi(\tau) d\tau + H Y \int_0^t \phi(\tau) d\tau \quad (3-17)$$

식(3-17)의 양변에 적분연산행렬을 도입하고 양변의 월쉬벡터를 소개하면 다음과 같다

$$W^k = W_0 + F W^{k-1} P + G U P + H Y P \quad (3-18)$$

이 대수방정식으로부터 월쉬계수행렬인 W^k 를 구할 수 있으며 이를 고속월쉬역변환하면 $w^k(t)$ 를 구할 수 있으며 전 단계에서 구한 $w^{k-1}(t)$ 와 비교하여 식(3-16)을 만족하는 $w^k(t)$ 가 식(3-12)의 해가 된다.

다음으로 식(3-7)으로부터 식(3-1)로 주어진 시스템의 추정 상태는 식(3-19)와 같이 나타낼 수 있다.

$$\hat{x}(t) = T_1 \cdot \begin{bmatrix} \sum_{i=0}^{k-1} W_i \phi_i(t) \\ -(M_2 + N_4 A_{21}^*) \sum_{i=0}^{k-1} W_i \phi_i(t) - N_3 \sum_{i=0}^{k-1} Y_i \phi_i(t) \end{bmatrix} \quad (3-19)$$

식(3-19)의 $\xi(t) \triangleq \sum_{i=0}^{k-1} W_i \phi_i(t)$ 라 두고 식(3-2b)에서 미지입력값에 대한 추정 방정식은 다음과 같다.

$$\dot{d}(t) = -(M_2 + N_4 A_{21}^*) \xi(t) - N_3 \dot{y}(t) - (A_{21}^* - A_{22}^* (M_2 + N_4 A_{21}^*)) \xi(t) + A_{22}^* N_3 y(t) - B_2^* u(t) \quad (3-20)$$

식(3-20)을 월쉬함수 전개를 이용하여 전개하고 시스템 출력

에 대한 미분치가 존재하므로 식(2-8)에서 제시한 윌쉬함수 미분연산행렬을 도입하면 다음과 같다.

$$\begin{aligned} \hat{a}(t) = & -(M_2 + N_1 A_{21}^*) \sum_{i=0}^{m-1} \bar{W}_i \phi_i(t) - N_2 \sum_{i=0}^{m-1} \bar{Y}_i \phi_i(t) \\ & - (A_{21}^* - A_{22}^* (M_2 + N_1 A_{21}^*)) \sum_{i=0}^{m-1} W_i \phi_i(t) \\ & + A_{22}^* N_3 \sum_{i=0}^{m-1} Y_i \phi_i(t) - B_2^* \sum_{i=0}^{m-1} U_i \phi_i(t) \end{aligned} \quad (3-21)$$

단, $\bar{Y} = (Y - Y_0) V$, $Y_0 = [y_0 \ 0 \ \dots \ 0]$

또한 식(3-21)에 식(3-12)의 관계를 도입하여 정리하면 다음의 대수방정식으로부터 미지입력을 구할 수 있다.

$$\begin{aligned} \hat{a}(t) = & Q \sum_{i=0}^{m-1} W_i \phi_i(t) + R \sum_{i=0}^{m-1} Y_i \phi_i(t) \\ & + S \sum_{i=0}^{m-1} U_i \phi_i(t) - N_3 \sum_{i=0}^{m-1} \bar{Y}_i \phi_i(t) \end{aligned} \quad (3-22)$$

단, $Q = -(M_2 + N_1 A_{21}^*) F - A_{21}^* + A_{22}^* (M_2 + N_1 A_{21}^*)$,
 $R = -(M_2 + N_1 A_{21}^*) H - A_{22}^* N_3$, $S = -(M_2 + N_1 A_{21}^*) G + B_2^*$

4. 적용예

이제, 앞에서 유도된 관측기 방정식과 미지입력 추정식의 윌쉬함수 전개식을 다음의 예제를 통하여 풀어보겠다. 식(4-1)과 같이 2개의 미지입력을 갖는 선형 시불변 시스템[4,5]을 고려하자.

$$\dot{x}(t) = \begin{bmatrix} -2 & -2 & 0 \\ 0 & 0 & 1 \\ 0 & -3 & -4 \end{bmatrix} x(t) + \begin{bmatrix} 1 & 0 \\ 0 & 1 \\ 0 & 0 \end{bmatrix} d(t) \quad (4-1.a)$$

$$y(t) = \begin{bmatrix} 1 & 0 & 1 \\ 0 & 1 & 0 \end{bmatrix} x(t) \quad (4-1.b)$$

$$x(t_0) = [-1 \ -1 \ 1]^T \quad (4-1.c)$$

식(3-2)의 형태를 취하기 위해 좌표변환행렬 T_1 을 선택하고, 식(3-5)의 관계를 만족하는 좌표변환 행렬 T_2 를 선택하면 다음과 같다.

$$T_1 = \begin{bmatrix} 0 & 1 & 0 \\ 0 & 0 & 1 \\ 1 & 0 & 0 \end{bmatrix}, \quad T_2 = \begin{bmatrix} 0 & 0 & 1 & 0 \\ 0 & 0 & 0 & 1 \\ 1 & 0 & 0 & 0 \\ 0 & 1 & 0 & 0 \end{bmatrix} \quad (4-2)$$

관측기 이득 값을 $L = [1 \ 1]$ 으로 임의 선택하였으며 이때, 관측기의 극점은 -4로 안정하게 결정되었음을 알 수 있다.

$$\dot{\zeta}(t) = -4\zeta(t) - 3y_2(t) \quad (4-3)$$

이제 추정된 상태를 이용하여 미지입력값에 대한 추정 방정식을 유도하면, 식(4-4)와 같다.

$$\hat{a}(t) = \hat{y}_2(t) + \begin{bmatrix} -2 & -2 \\ 0 & 0 \end{bmatrix} \hat{y}_2(t) - \begin{bmatrix} 0 \\ 1 \end{bmatrix} \zeta_1(t) \quad (4-4)$$

미지입력값을 $d = [5 \ 3]^T$ 라고 가정하고, 말단시간을 $t_f = 5$ sec.로 하고, 윌쉬함수 전개항수를 $m = 256$ 으로 선택하여 MATLAB ver5.3을 이용하여 시뮬레이션 하였다.

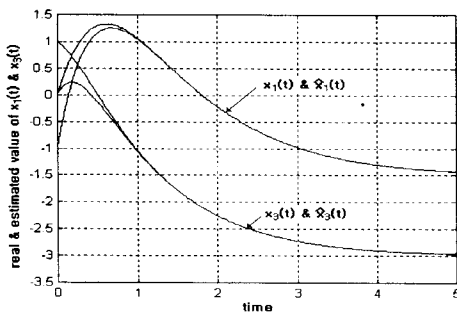


그림 1. x(t)에 대한 실 상태와 추정상태

그림 1에서는 제안된 관측기 방정식을 윌쉬함수 전개와 제

안된 윌쉬함수 미분연산식을 이용하여 해를 구한 뒤 관측기를 통하여 추정된 상태값인 $x_1(t)$, $x_3(t)$ 를 나타내었다. 그림에서 보는 바와 같이 상태 $x_1(t)$, $x_3(t)$ 가 초기값의 오차를 극복하고 실제 상태에 수렴함을 알 수 있다.

그림 2에서는 시스템의 출력부에 측정잡음이 존재할 경우 제안된 윌쉬함수 미분 연산식을 이용하여 미지입력값을 추정할 경우를 나타내었다.

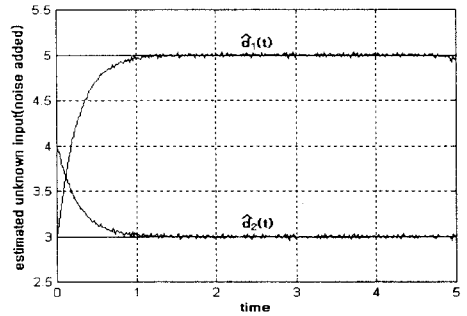


그림 2. 제안된 방법에 의하여 추정된 미지입력값

4. 결 론

본 논문에서는 윌쉬함수 미분연산식을 새롭게 제시하였고 고속 윌쉬변환과 미분연산식을 이용하여 미지입력을 포함한 선형 시스템의 관측기 설계에 대하여 제시하였다. 또한 제안된 관측기를 통하여 추정된 상태들의 윌쉬함수 계수 벡터만으로 미지입력값을 추정할 수 있음을 예제를 통해 검증해 보았다. 또한 적용예에서 알 수 있듯이 제안된 윌쉬함수 미분 연산식을 이용하여 미지입력값을 추정할 경우에는 미분연산을 대수적 알고리즘에 의해 수행함으로써 추정된 미지입력값이 실제의 미지입력과 측정부 잡음이 더해진 값으로 나타나는 것을 알 수 있다. 따라서, 실제의 시스템의 경우도 제안된 윌쉬함수 미분 연산식을 이용해 미지입력값을 추정할 경우 추가의 미분기가 필요 없이 단순한 연산으로써 추정할 수 있음을 알 수 있다.

[참 고 문 헌]

- [1] BHATTACHARYYA, S. P., "Observer design for systems with unknown inputs", IEEE Trans. Cont., vol. 23, pp. 483-484, 1978.
- [2] GUAN, Y., and SAIF, M., "A novel approach to the de unknown input observer", IEEE Trans. Auto. Cont., vol. 632- 635, 1991.
- [3] HOU, M., and MÜLLER, P. C., "Design of observers fo systems with unknown inputs", IEEE Trans. Auto. Con 37, pp. 871-875, 1992.
- [4] AHN, P., LEE, M. K., and AHN, D. S., "UIO design f time invariant systems via STWS", Trans. of KIEE vo pp. 128-132, 1997.
- [5] AHN, P., KIM, M. H., and AHN, D. S., "A novel app unknown input observer design via block pulse fun differential operation", Proc. of IFAC World Congress, D, 255-260, 1999
- [6] Ronald R. Mohler, *Nonlinear Systems*, vol. 1, Prent 1991
- [7] 안두수, *WALSH함수와 시스템 제어*, 북두출판사, 2000